

京都大学防災研究所 正会員 中村重久

1. 概説 海岸附近の人の活動を安全に保つためには、海岸附近での災害を未然に防止する必要があり、また、海岸附近に構造物を設け、その機能を發揮させようとしたことはならない。この目的を達するための方策は多様であり、経験的資料によると判断による例が多いようである。海岸附近での波を消すことを目的の一策であり、そのため消波構造物が設けられた。これは、消波構造物の1例として不透水性防波堤に焦点をあく。

この種の不透水性防波堤の消波機能については、従来、水槽を用いて多くの研究が行われ、理論と実験との対比が検討される一方、それより研究成果はシミュレーションの手法にまとめて実際の問題に応用されてきた。たゞ、実験的検証において運動実験水槽を用いたところでは、従来から行なわれてきたとは言え、力学的相似律を考慮すれば現地海岸に対応できることとされてきた。実験は近い模型は十分によく対応するといふ思想から、近年の水槽による模型実験は大型化の道をたどる傾向（土木学会誌、Vol. 61, No. 5, 1971）。この場合、経費、労力および時間も大型化するとも考慮する必要がある。

近年、海の波の問題が際に現し音波モデルを利用したのが提唱され、また、若干の実験的研究の一例が示された。これは、音波モデルとあるものが、海岸構造物の問題に適用できるかどうか、これまでとすれば、今のところ注意すべきことは何かについて若干の検討を加えてみた。

## 2. 音波モデルによるシミュレーションの条件 以下に水槽中の水面波モデルと音波モデルとの対比を表示する。

	水面波モデル	音波
運動方程式	$d\psi_w/dt_w = -(1/\rho_w) \partial P_w/\partial t_w + \nabla_w (\mu' \nabla \psi_w)$ ,	$d\psi_s/dt_s = -(1/\rho_s) \partial P_s/\partial t_s + \nabla_s (\mu' \nabla \psi_s)$
連続の条件	$\partial \zeta / \partial t_w + \nabla_w \cdot \nabla_w \zeta = 0$ ,	$\partial \rho_s / \partial t_s + \nabla_s \cdot \nabla_s \rho_s = 0 \quad (\rho v = 1, \quad p v = R \theta)$

これから、物理量それぞれの対応関係をアノロジーで表す、さらに縮尺である相似律に対応する量を導く。

因子	水面波モデル	音波モデル	アノロジー比
長さ	$L_w, \nabla_w^{-1} T_w$	$L_s, \nabla_s^{-1}, T_s$	$(L_w/L_s) = L_r$
時間	$T_w, t_w, f_w^{-1}$	$T_s, t_s, f_s^{-1}$	$(T_w/T_s) = T_r$
密度	$\rho_w$	$\rho_s$	$(\rho_w/\rho_s) = \rho_r$
速度	$v_w$	$v_s$	$(v_w/v_s) = v_r$
圧力	$P_w$	$P_s$	$(P_w/P_s) = P_r$
粘性係数	$\mu'$	$\mu$	$(\mu'/\mu) = \mu_r$

上の表の対応関係は音波モデルで音場の平均圧に比べて音圧が微小な場合と水面波の微小振幅波とは限らず成立するとは思われる。

## 3. 実験装置 音波モデルで用いる装置を水槽実験と対応させ説明する。

音波モデル	水槽実験
波源（スピーカー、倍周波オフレーテー）	波源（プロセッサー、送受装置入力用数セレーテー）
アクリル板海岸構造物モデル	水槽（コントロール盤モード）
小型マイク、ブリッジオフローラ	波高計、ペニシロメーター

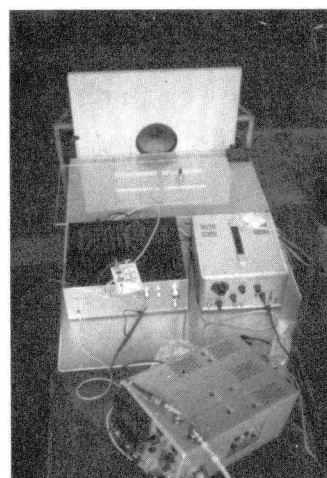


図-1 音波モデルの例

4. 波高モデルと備実験例 着者と長周期波割離にみかけた不透水性防波堤の用いた水槽（第2回海工）の幾何学的1/10の音波モデルを用いて実験結果を比較した（図-1参照）。気温14°C（1気压下）の空気中の音速339.4 m/sと水槽開口部水深に対する長波の波速0.885 m/sをかくして  $(c_w/c_s) = 2.61 \times 10^3$  を得た。たゞ、実験で得られた周波数特徴を比較してみると、 $(L_w/L_s) = 10 \sim 33$  と  $(f_w/f_s) = 2.61 \times 10^{-4}$  はたらざるようである。